

**КИНЕМАТИЧЕСКОЕ ВОЗМУЩЕНИЕ  
ОГРАДИТЕЛЬНОГО СООРУЖЕНИЯ СМЕШАННОГО  
ТИПА, ВЗАЙМОДЕЙСТВУЮЩЕГО С ГРУНТОВОЙ  
И ВОДНОЙ СРЕДОЙ**

Гришин А. В. (*Одесса*)

Рассматривается связанная динамическая система, состоящая из ограждительного сооружения, каменной постели, основания и водной среды (см. рис. 1). Исследуются волновые процессы, возникающие в системе с учетом взаимодействия всех её элементов. Учитываются упругопластические свойства материалов системы. Используется теория пластического течения с упрочнением. Источником колебаний рассматриваемой системы являются некоторые области грунтового массива, которые в момент времени  $t=0$  получают перемещения.

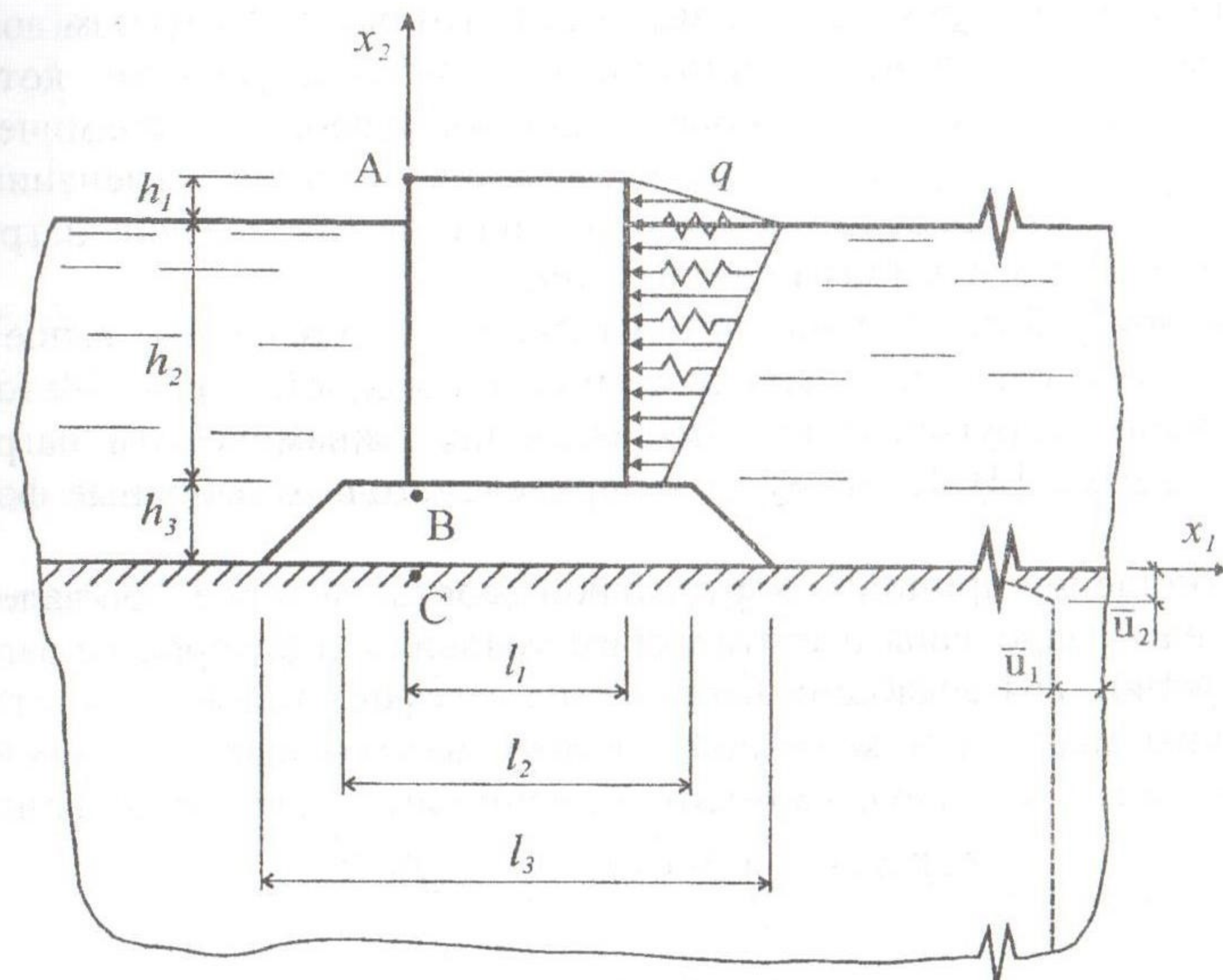


Рис. 1. Расчетная схема системы

Такая модель реализуется в расчетах на сейсмические воздействия [1], передающихся на каменную постель и оградительное сооружение не в виде внешних динамических нагрузок, а как реакция волнового процесса со стороны грунтовой среды. В свою очередь колебания волнолома влияют на колебания постели и грунтового массива. Следовательно, в данном случае при расчете необходимо рассматривать совместное взаимодействие всех элементов системы.

При определении напряженно-деформированного состояния системы учитываются упругопластические свойства как грунтовой среды, так и постели. Такая постановка задачи вызывает дополнительные трудности, так как при её решении принцип суперпозиции неприменим. Следовательно, представление перемещений системы в виде интеграла Дюамеля или как разложение по собственным формам, которые эффективно используются при анализе упругих систем, в данном случае не применимо. Поэтому для определения перемещений и напряжений в системе можно в основном использовать только прямые шаговые методы. Они позволяют изменять любую матрицу исходных уравнений при переходе от одного шага к другому в зависимости от результатов решения на предыдущем шаге.

Далее, становится невозможным определять реакции системы путем суммирования их значений, полученных от действия статических и динамических нагрузок. Это вызвано тем, что при статическом воздействии на систему в ней возникают пластические области, которые влияют на колебательный процесс при последующем динамическом нагружении. Поэтому динамическое решение, без учета изменений жесткостных характеристик системы от действия статических нагрузок, может привести к неверным результатам.

В данной работе сделана попытка учесть перечисленные выше факторы применительно к рассматриваемой нелинейной задаче. Методика исследования упругопластических задач при динамическом нагружении изложена в [2]. Поэтому здесь приведем только основные формулы.

Соотношение принципа виртуальной работы, которое эквивалентно уравнениям равновесия и статическим условиям и которое не зависит от уравнений, связывающих напряжения с деформациями, для стенки, грунтового массива и каменной постели, называемые в дальнейшем твердой частью системы, в момент времени  $t$  имеет следующий вид

$$\int_{\Omega_T} [\delta \varepsilon]^T \sigma d\Omega + \int_{\Omega_T} [\delta u]^T (\rho \ddot{u} + c \dot{u} - Q) d\Omega - \int_{S_q} [\delta u]^T q ds - \int_{S_p} [\delta u]^T p ds = 0. \quad (1)$$

Здесь:  $\delta\epsilon, \delta u$  - векторы виртуальных деформаций и перемещений;  $\sigma$  - вектор напряжений;  $\rho$  - плотность материала системы;  $C$  - оператор-матрица параметров демпфирования;  $Q, q$  - векторы заданных объемных и поверхностных сил;  $p$  - вектор давления водной среды;  $S = S_u \cup S_q \cup S_p$  - поверхность, ограничивающая твердую часть системы, при этом на  $S_u$  в начальный момент времени  $t = 0$  заданы перемещения

$$u|_{S_u} = \bar{u}, \quad (2)$$

где  $\bar{u}$  - вектор заданных перемещений (на  $S_q$  заданы поверхностные силы  $q$ , а на  $S_p$  - давление воды  $p$ );  $u, \dot{u}, \ddot{u}$  - соответственно векторы перемещений, скоростей и ускорений, которые определяются как  $\dot{u} = u_t, \ddot{u} = u_{tt}$ .

В дальнейшем водную среду будем называть жидкостью составляющей динамической системы. Для неё принцип виртуальной работы в момент времени  $t$  записывается в виде

$$\int_{\Omega_{\text{ж}}}\{[\delta\dot{\epsilon}_o]^T p + [\delta\dot{\epsilon}]^T \tau - [\delta\dot{u}]^T Q_p + [\delta\dot{u}]^T \rho \frac{du}{dt}\} d\Omega - \int_{S_p} [\delta\dot{u}]^T \bar{p} ds = 0. \quad (3)$$

Здесь:  $\delta\dot{\epsilon}_o, \delta\dot{\epsilon}, \delta\dot{u}$  - векторы виртуальных объемных скоростей деформаций, скоростей девиатора деформаций и скоростей перемещений;  $\rho$  - плотность воды;  $Q_p$  - вектор объемных сил;  $\frac{du}{dt}$  - полная производная от скорости перемещения, которую при малых колебаниях можно заменить частной производной  $\dot{u} = u_{tt}$ ;  $\bar{p}$  - вектор заданного на поверхности  $S_p$  давления. Для невязкой жидкости можно пренебречь вторым слагаемым под первым интегралом в (3).

Полагаем, что деформации системы происходят при малых удлинениях, сдвигах и углах поворота. Поэтому зависимость между приращениями деформаций и перемещений определяется линейными соотно-

шениями Коши

$$d\varepsilon_{ks} = \frac{1}{2}(du_{k,s} + du_{s,k}). \quad (4)$$

В этом случае также имеет место постулат суммирования приращений упругой и пластической деформации

$$d\varepsilon_{ks} = d\varepsilon_{ks}^{(e)} + d\varepsilon_{ks}^{(p)}. \quad (5)$$

Компоненты тензора приращения упругой деформации связаны с компонентами тензора приращения напряжений законом Гука

$$d\varepsilon_{ks}^{(e)} = C_{ksmn}^{(e)} d\sigma_{mn}. \quad (6)$$

Связь между компонентами тензора приращения пластической деформации и компонентами тензора приращения напряжений имеет вид дифференциальных неинтегрируемых соотношений. Из принципа максимума Мизеса [3] следует, что

$$d\varepsilon_{ks}^{(p)} = d\lambda f_{,\sigma_{ks}}, \quad d\lambda = const > 0, \quad (7)$$

где  $f_{,\sigma_{ks}}$  - производная от функции нагрузки по  $\sigma_{ks}$ .

Входящая в (7) функция нагрузки  $f$ , определяется для постели и грунтовой среды как условие Кулона-Мора

$$(\sigma_0 - \frac{\sigma_i}{\sqrt{3}} \sin \psi) \sin \varphi + \sigma_i \cos \psi - c \cos \varphi = 0, \quad (8)$$

где  $c$  - сцепление;  $\varphi$  - угол внутреннего трения;  $\sigma_0, \sigma_i, \psi$  - соответственно первый, второй и третий инварианты тензора напряжений [5].

Стенка представляет собой бетонный или каменный массив, который обладает жесткостью на несколько порядков выше, чем постель и грунтовая среда, поэтому считаем, что он работает упруго.

Используя (4)÷(7), уравнения состояния для упругопластических сред можно записать в виде [2]

$$\begin{aligned} d\sigma_{ks} &= D_{ksmn}^{(e)} d\varepsilon_{mn}, \text{ если } f = 0, d'f > 0 \text{ или } f < 0; \\ d\sigma_{ks} &= D_{ksmn}^{(ep)} d\varepsilon_{mn}, \text{ если } f = 0, d'f \leq 0, \end{aligned} \quad (10)$$

где  $D_{ksmn}^{(e)}$  - компоненты матрицы упругих постоянных закона Гука;

$D_{ksmn}^{(ep)}$  - компоненты матрицы, которые определены для различных функций нагрузки в [2].

Прямые шаговые методы включают в себя два основных этапа:

- дискретизацию основных уравнений;

построение итерационного процесса для определения напряженно-деформированного состояния системы с наперед заданной точностью.

Дискретизация исходных уравнений производится как по времени, так и по области системы. Эти операции для твердой части системы подробно рассмотрены в [2]. В результате в матричной форме в момент времени  $t_n$  получаем уравнение равновесия в виде

$$M\ddot{\delta}_n + C\dot{\delta}_n + K(\delta)\delta_n = Q_n + F_n. \quad (11)$$

Здесь:  $M$  - матрица распределенных масс;  $C$  - матрица демпфирования;  $K(\delta)$  - матрица жесткости;  $Q_n$  - вектор узловых нагрузок на поверхности  $S_q$ ;  $F_n$  - вектор давления воды на поверхности  $S_p$ , который равен

$$F_n = \int_{S_p} [N]_n^T p_n ds = \frac{1}{\rho} [h]^T p_n, \quad (12)$$

где  $\rho$  - плотность воды,

$$h = \int_{S_p} [N]_n^T \rho [N]_n ds, \quad (13)$$

$[N]_n$  - матрица функций формы, которая принимается такой же, как и для аппроксимации уравнений твердой части системы;  $\delta_n, \dot{\delta}_n, \ddot{\delta}_n$  - соответственно узловые перемещения, скорости и ускорения.

Производя дискретизацию уравнений жидкой составляющей системы, окончательно получаем следующее соотношение

$$H p_n + h \ddot{\delta}_n = 0, \quad (14)$$

где матрица  $H$  состоит из подматриц, включающих функции формы.

Определяя из (14) вектор  $p_n$  и подставляя его значение в (11), для момента времени  $t_n$  получаем следующее уравнение

$$\bar{M}\ddot{\delta}_n + C\dot{\delta}_n + K(\delta)\delta_n = Q_n, \quad (15)$$

где

$$\bar{M} = M + \frac{1}{\rho} [h]^T [H]^{-1} h \quad (16)$$

называется матрицей приведенной массы, а выражение

$\frac{1}{\rho} [h]^T [H]^{-1} h$  - матрицей присоединенных масс жидкости.

Для решения уравнения (15) используется неявный модифицированный метод Ньюмарка [2], который является безусловно устойчивым, что позволяет существенно увеличивать длину временного шага  $\Delta t$  по сравнению с явными методами и получить более надежные результаты. Основными отличиями модифицированного метода от классического, применяемого для решения линейных задач [6], являются следующие: 1) решение находится не в полных перемещениях, а в их приращениях, по которым и определяются полные перемещения; 2) строится дополнительный итерационный процесс для уменьшения невязки в уравнении (15) до наперед заданной малой величины; 3) вследствие приближенного решения, вектор напряжений  $\sigma_n$  может выходить за пределы области, ограниченной функцией нагрузки, что недопустимо для упругопластических задач. Поэтому строится дополнительная процедура для его возвращения в эту область.

Для численной реализации предложенной методики был разработан программный комплекс в системе Delphi, который позволяет производить совместный расчет всех элементов системы от статических и динамических воздействий. Его описание дано в [2].

Рассмотрим численное решение уравнений для рассматриваемой задачи при следующих исходных данных:  $h_1 = 4$  м;  $h_2 = 8$  м;  $h_3 = 12$  м;  $l_1 = 10$  м;  $l_2 = 22$  м;  $l_3 = 54$  м. Характеристики каменной постели:  $E_P = 60$  МПа;  $\mu = 0,3$ ;  $c = 0,003$  МПа;  $\varphi = 30^\circ$ . Свойства грунтового основания:  $E_O = 40$  МПа;  $\mu = 0,4$ ;  $c = 0,005$  МПа;  $\varphi = 25^\circ$ . В момент времени  $t = 0$  заданы начальные перемещения  $\bar{u}_2 = 0$  и  $\bar{u}_1$ , которое меняется от оси  $x_1$  до глубины 70 м на величину от -9 см до -3 см. Смещения произошли на расстоянии  $x_1 = 105$  м. Учитывается влияние водной среды на колебания стенки, постели и основания.

На рис. 2, рис. 3 и рис. 4 приведены эпюры изменения во времени горизонтальных колебаний  $u_1$  точек А, В и С (см. рис. 1) вызванных при  $t = 0$  горизонтальными перемещениями  $\bar{u}_1$ . Наибольшая амплитуда колебаний наблюдается у точки А при  $t = 1,25$  сек., она равна 0,79 см. Затем происходит всплеск колебаний в противоположном направлении

и далее постепенное их затухание. С некоторым смещением во времени такая же картина наблюдается и для точек В и С. Для точки С максимальная амплитуда горизонтальных колебаний равна 0,3678 см. Начальные горизонтальные смещения на том же уровне составляли 9 см. Следовательно, на расстоянии 105 м произошло затухание перемещений почти в 25 раз.

На рис. 5 и рис. 6 приведены схемы образования пластических зон в элементах системы в моменты времени  $t=0,06$  сек. и  $t=1,32$  сек. Почти сразу же в области основания, примыкающей к линии смещения  $\bar{u}_1$ , образуется пластическая зона. С течением времени она перемещается в направлении стенки и постели, постепенно уменьшаясь по величине. Происходит образование новых зон и закрытие ранее возникших. Затем пластические зоны захватывают некоторые области каменной постели. Происходит как бы перемещение пластической зоны справа налево с постепенным её затуханием. Наиболее активные по продолжительности пластические зоны остаются в областях постели, примыкающих к угловым точкам стенки. Это видно на рис. 6. После  $t=3$  сек. почти все зоны, за исключением отдельных небольших областей, исчезают.

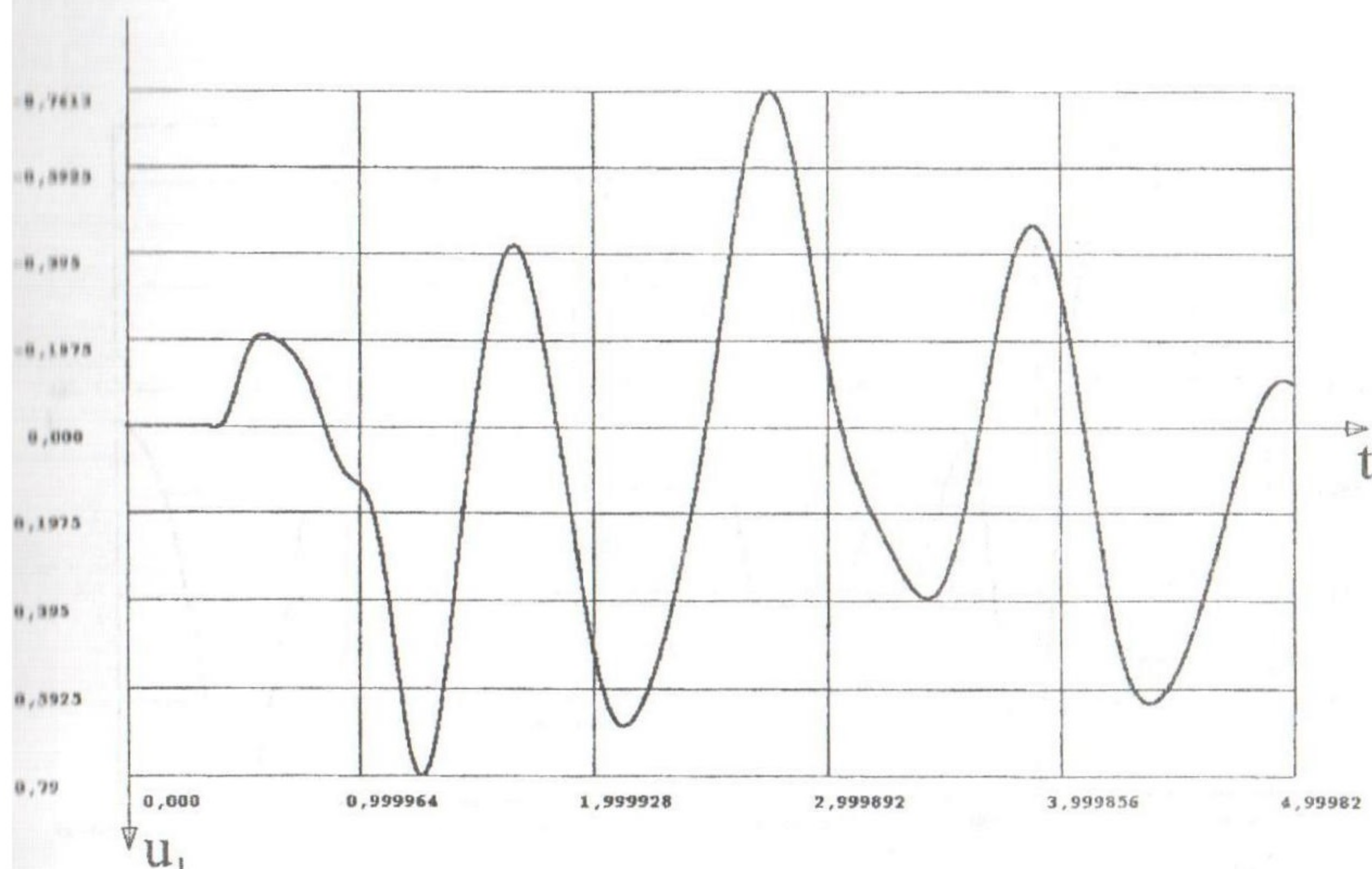


Рис. 2. Горизонтальные колебания точки А  
от смещения  $\bar{u}_1$  (в см и сек.)

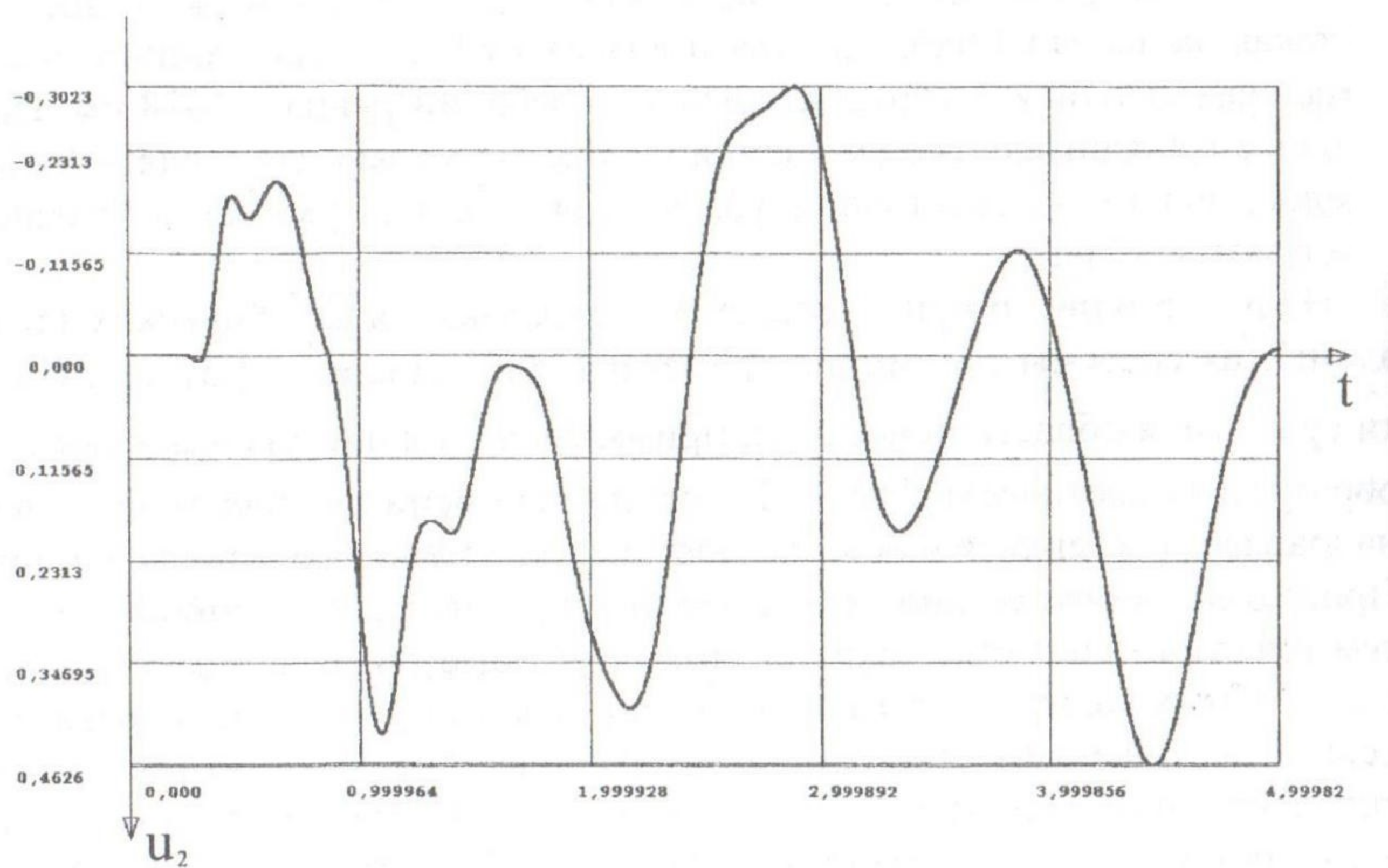


Рис. 3. Горизонтальные колебания точки В  
от смещения  $\bar{u}_1$  (в см и сек.)

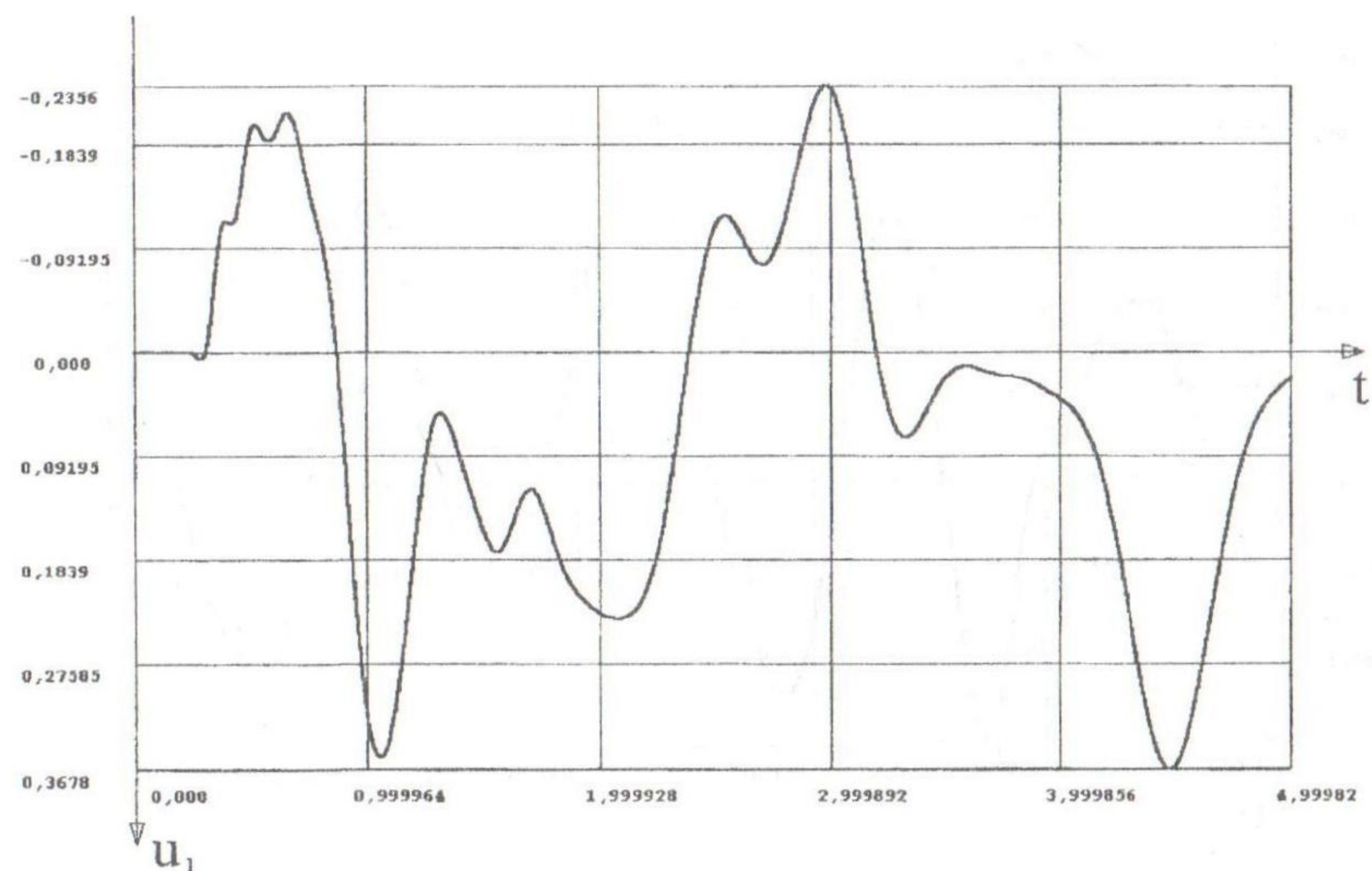


Рис. 4. Горизонтальные колебания точки С  
от смещения  $\bar{u}_1$  (в см и сек.)

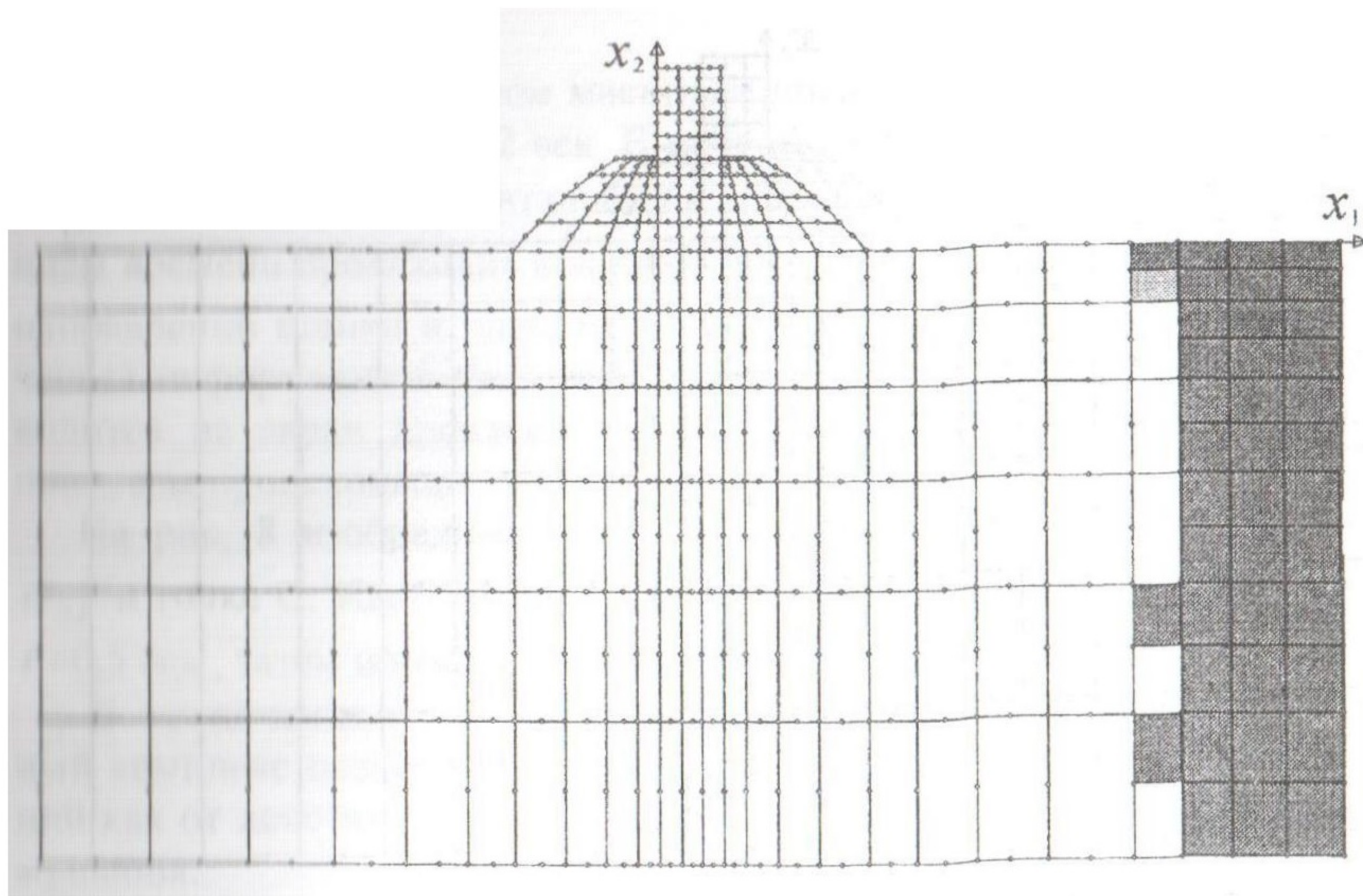


Рис. 5. Образование пластических зон в системе  
в момент времени  $t=0,06$  сек.

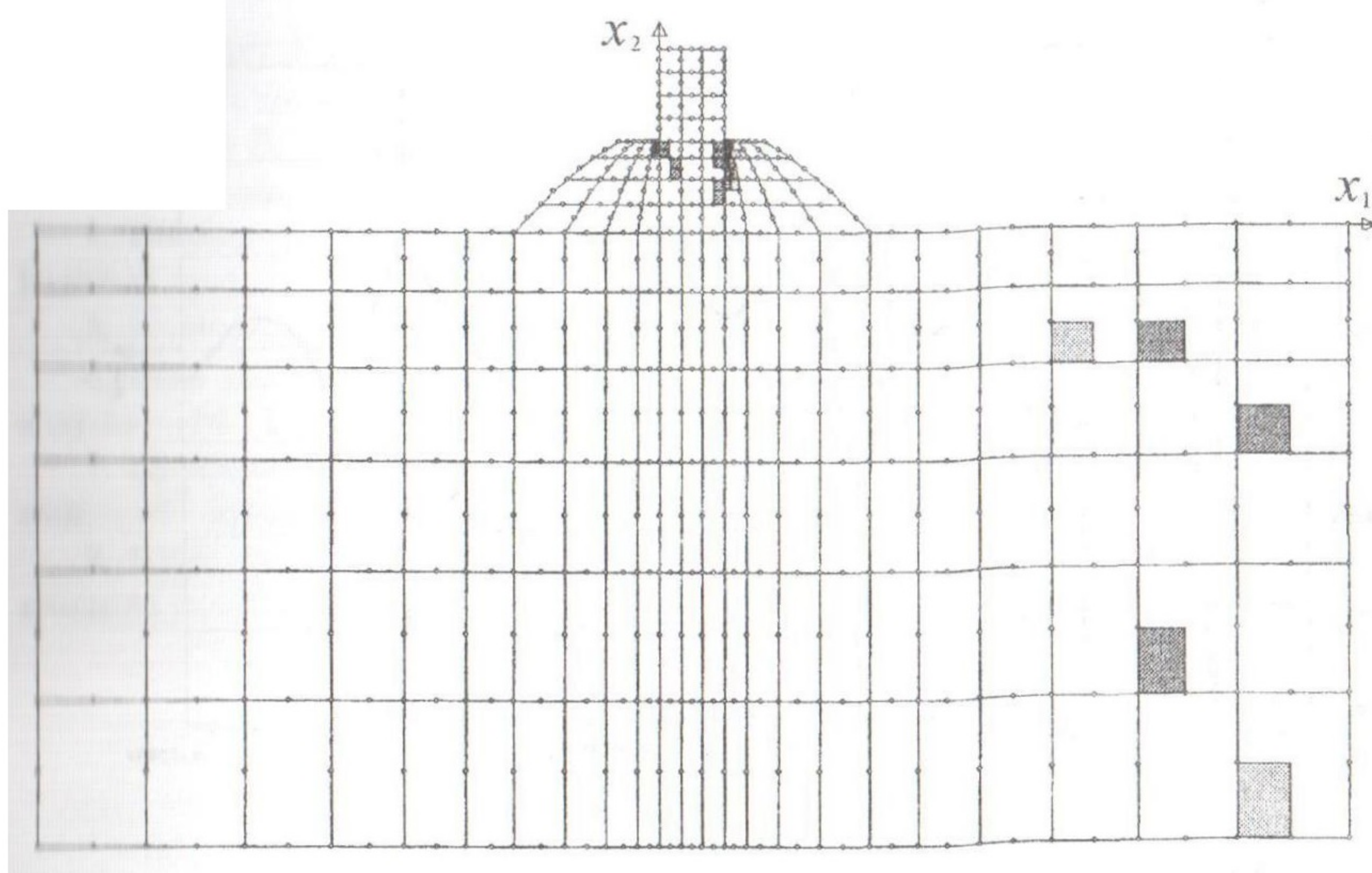


Рис. 6. Образование пластических зон в системе  
в момент времени  $t=1,32$  сек.

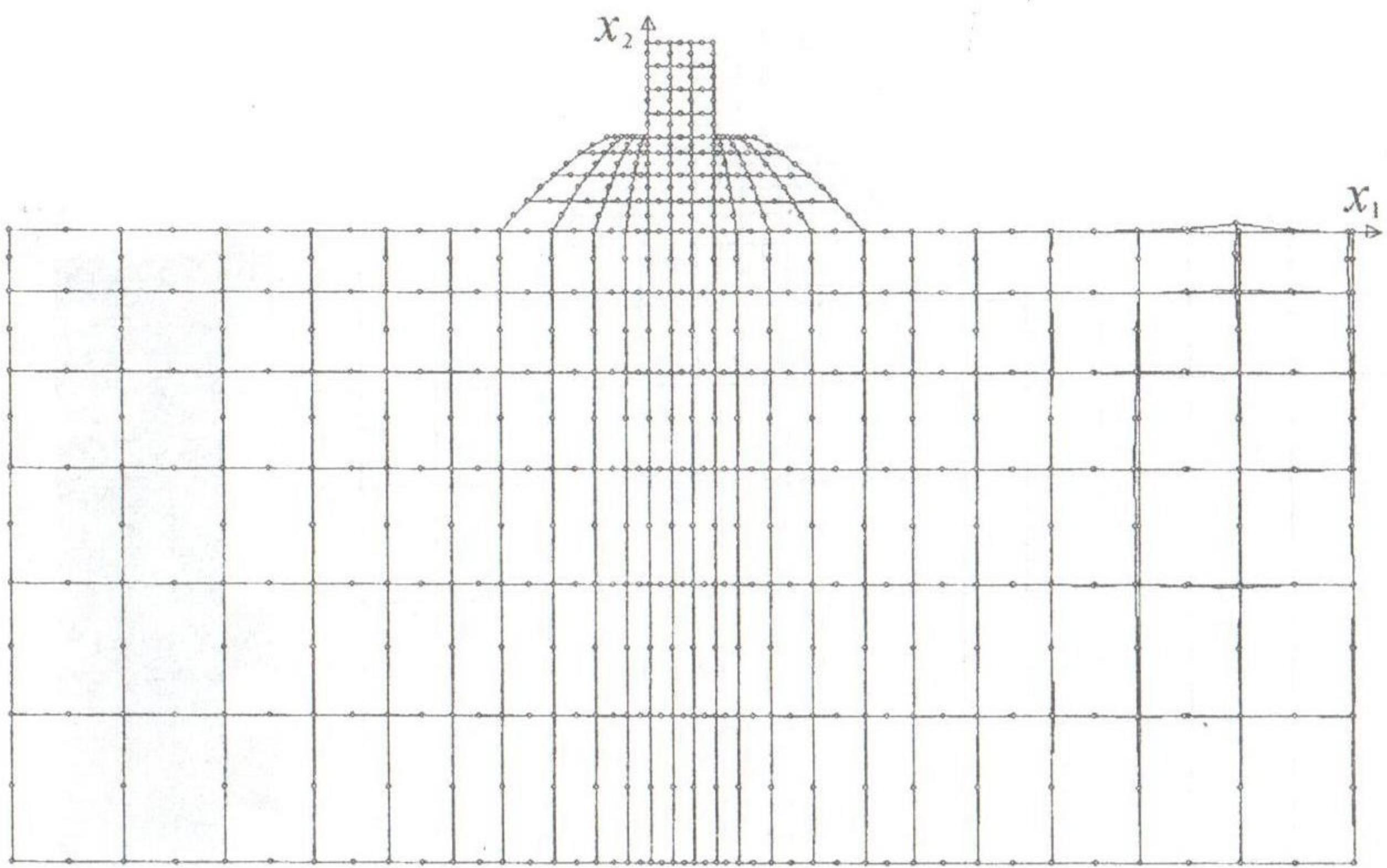


Рис. 7. Схема перемещений системы  
в момент времени  $t=0,12$  сек.

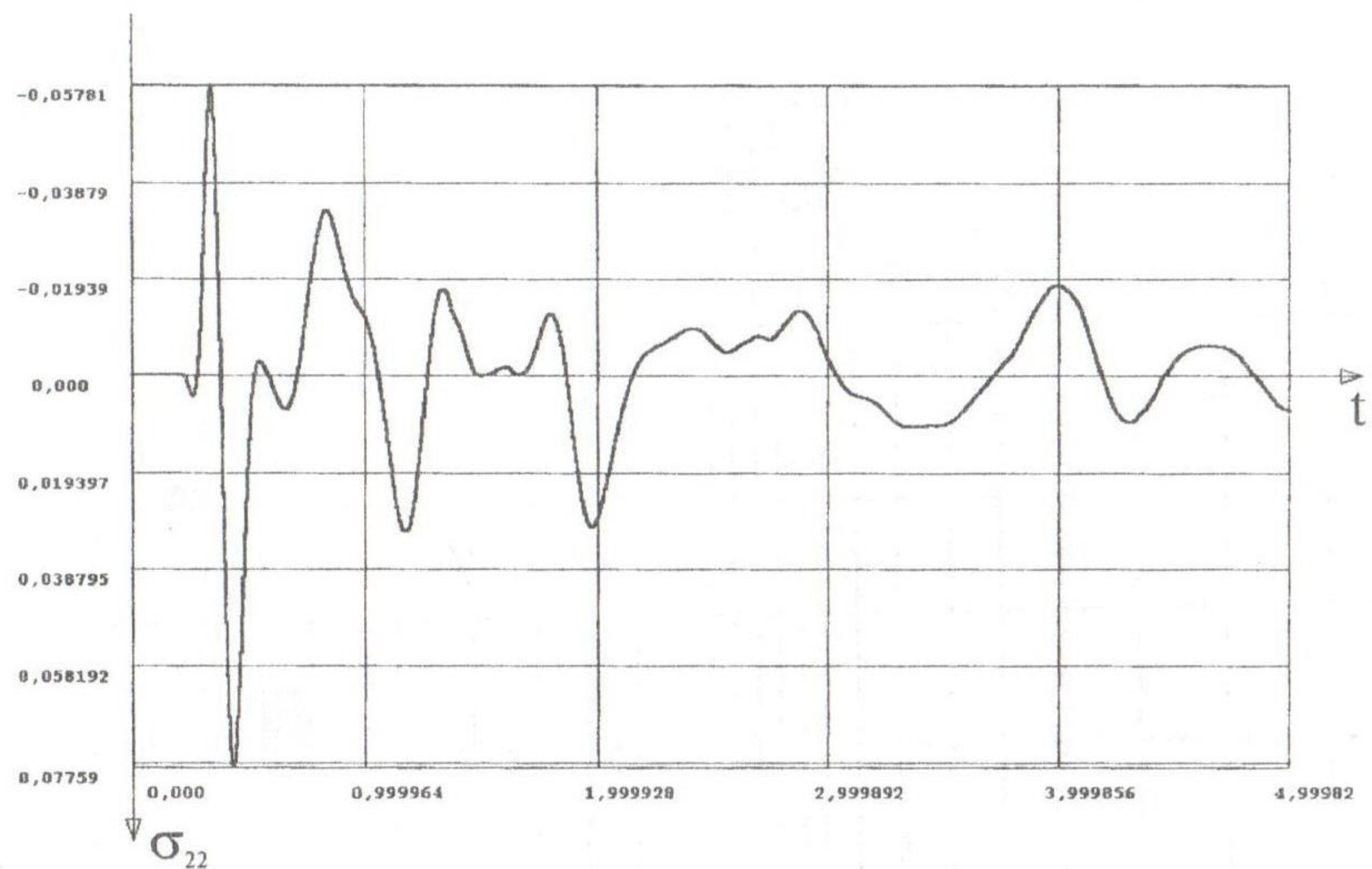


Рис. 8. Колебания напряжений  $\sigma_{22}$  в точке С системы  
от смещения  $\bar{u}_1$  (в 10 МПа и сек.)

На рис. 7 в увеличенном масштабе показаны перемещения систем<sup>I</sup> в момент времени  $t=0,12$  сек. В правой части рисунка видны как вертикальные, так и горизонтальные смещения точек основания. С течением времени происходит волновое движение от линии смещения  $\bar{u}_1$ <sup>3</sup> направлении стенки и постели с постепенным затуханием. Вся графическая информация о движении пластических зон и перемещений выводится на экран дисплея, на котором можно наблюдать волновые процессы происходящие во всех элементах системы.

На рис. 8 изображена эпюра изменения во времени напряжений  $\sigma_{33}$  в точке С. Наибольшие колебания напряжений наблюдаются при  $t=0,5$  сек., затем происходит их постепенное затухание.

В заключение отметим, что предложенная методика и программный комплекс позволяют производить расчет ограждающих сооружений как от действия волновой нагрузки, так и от кинематического возмущения.

### Литература

1. Клаф Р., Пензиен Дж. Динамика сооружений. – М.: Стройиздат, 1979. – 320 с.
2. Гришин А. В., Дорофеев В. С. Нелинейная динамика конструкций, взаимодействующих с деформируемой средой. – Одесса: Астропринт, 2001. – 136 с.
3. Ивлев Д. Д., Быковцев Г. И. Теория упрочняющегося пластического тела. – М.: Наука, 1971. – 231 с.
4. Иванов П. Л. Грунты и основания гидротехнических сооружений. – М.: Высшая школа, 1991. – 447 с.
5. Новожилов В. В. Теория упругости. – Судпромгиз, 1958. – 370 с.
6. Бате К., Вилсон Е. Численные методы анализа и метод конечных элементов. – М.: Стройиздат, 1982. – 447 с.
7. Кульмач П. П. Сейсмостойкость портовых гидротехнических сооружений. – М.: Транспорт, 1970. – 310 с.
8. Шульман С. Г. Расчет сейсмостойкости гидросооружений с учетом влияния водной среды. – М.: Энергия, 1976. – 336 с.